

Grad-Shafranov方程式に対する
Hyper-Singular境界積分方程式の定式化

Hyper-singular BIE formulation
for the Grad-Shafranov equation

北海道大学大学院工学研究科
○下田 啓詞
板垣 正文

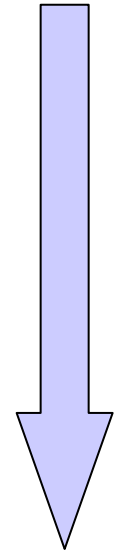
研究背景

- トカマクプラズマ電流密度分布の逆解析
 - 外部磁気センサー信号から電流密度分布を求める数値計算
 - 電流密度分布の形状によっては十分な精度を得られない
- Hyper-Singular 境界積分方程式(HBIE)
 - 通常の境界積分方程式(SBIE)を特異点位置で再度微分
 - SBIEと連立させることで逆解析のロバスト性を高め得る
 - 超特異性(hyper singularity)の除去に工夫を凝らす必要がある

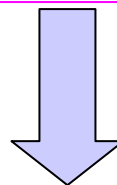
特異性

数値計算が困難

- weak singularity (弱い特異性) $\int_0^r \log x dx$
- strong singularity (強い特異性) $\int_{-r}^r \frac{1}{x} dx$
- hyper singularity (超特異性) $\int_{-r}^r \frac{1}{x^2} dx$



超特異性を持つHBIE



特異性のレベルを減ずる

弱い特異性を持つHBIE

HBIEの定式化①

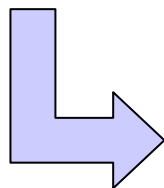
Grad-Shafranov方程式

$$\left(\frac{\partial^2}{\partial r^2} - \frac{1}{r} \frac{\partial}{\partial r} + \frac{\partial^2}{\partial z^2} \right) \psi = -\mu_0 r j_\phi$$

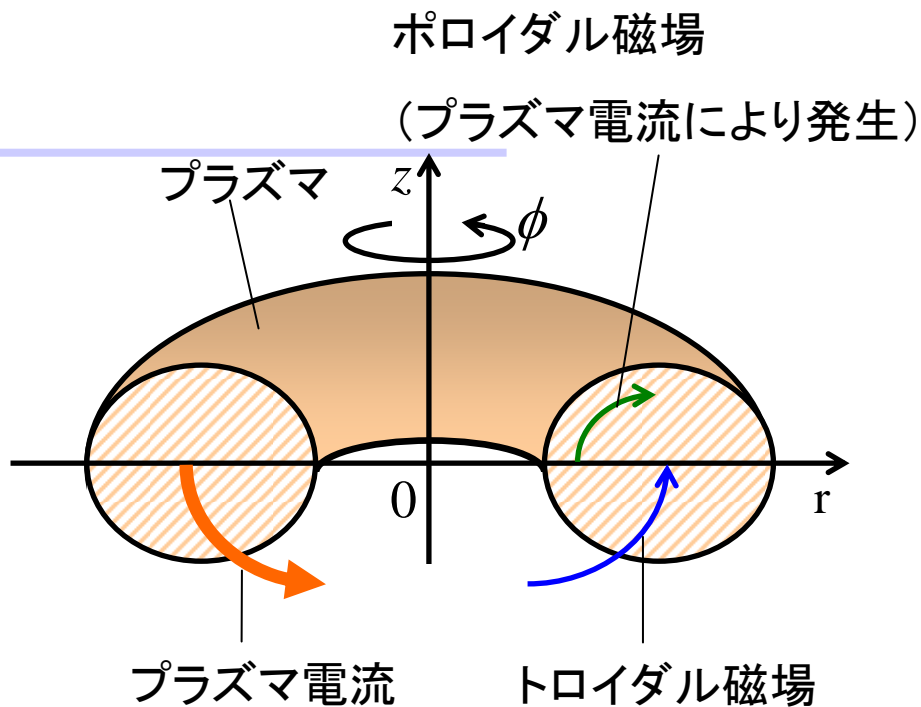
Grad-Shafranov方程式と等価なSBIE

$$\psi(\xi) - \int_{\Gamma} \left(\frac{\psi^*}{r} \frac{\partial \psi(\mathbf{x})}{\partial n} - \frac{\psi(\mathbf{x})}{r} \frac{\partial \psi^*}{\partial n} \right) d\Gamma =$$

$$\sum_{l,m} \alpha_{l,m} \left\{ \varphi^{(l,m)}(\xi) - \int_{\Gamma} \left(\frac{\psi^*}{r} \frac{\partial \varphi^{(l,m)}(\mathbf{x})}{\partial n} - \frac{\varphi^{(l,m)}(\mathbf{x})}{r} \frac{\partial \psi^*}{\partial n} \right) d\Gamma \right\}$$



特異点位置において再度微分



トカマク型核融合装置の概要

r, ϕ, z	座標
j_ϕ	電流密度
ψ, ψ^*	磁束、基本解
$\varphi^{(l,m)}$	特解
$\alpha_{l,m}$	多項式展開係数
μ_0	真空透磁率

HBIEの定式化②

超特異性をもつHBIE

超特異性

$$\frac{\partial \psi(\xi)}{\partial m} - \int_{\Gamma} \left(\frac{1}{r} \frac{\partial \psi^*}{\partial m} \frac{\partial \psi(\mathbf{x})}{\partial n} - \frac{\psi(\mathbf{x})}{r} \frac{\partial^2 \psi^*}{\partial m \partial n} \right) d\Gamma$$

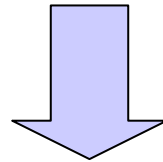
$$= \sum_{l,m} \alpha_{l,m} \left\{ \frac{\partial \varphi^{(l,m)}(\xi)}{\partial m} - \int_{\Gamma} \left(\frac{1}{r} \frac{\partial \psi^*}{\partial m} \frac{\partial \varphi^{(l,m)}(\mathbf{x})}{\partial n} - \frac{\varphi^{(l,m)}(\mathbf{x})}{r} \frac{\partial^2 \psi^*}{\partial m \partial n} \right) d\Gamma \right\}$$

$$\frac{\partial \psi^*}{\partial m \partial n} = C_0 + C_1 (\log \varepsilon) + \frac{C_2}{\varepsilon} + \frac{C_3}{\varepsilon^2}$$

弱い特異性

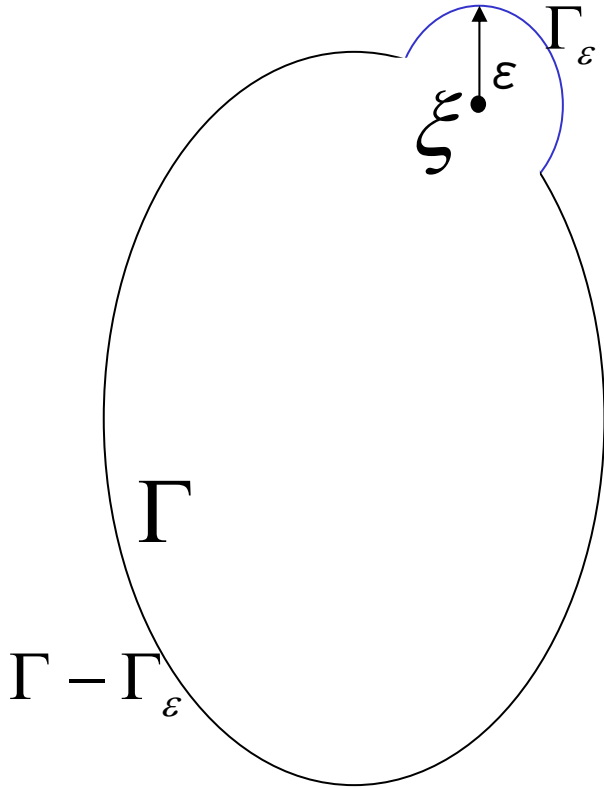
強い特異性

超特異性



$\frac{C_2}{\varepsilon}$, $\frac{C_3}{\varepsilon^2}$ の項を消去する必要がある

HBIEの定式化③



- 特異点の有無によって境界を二つに分ける

Γ_ε : 特異点を中心とした半径 ε の拡張領域

- $\varepsilon \rightarrow 0$ の極限をとることで、もとの式と等価とする

$$\int_{\Gamma} = \lim_{\varepsilon \rightarrow 0} \int_{\Gamma - \Gamma_\varepsilon} + \lim_{\varepsilon \rightarrow 0} \int_{\Gamma_\varepsilon}$$

HBIEの定式化④

ξ の近傍で $\psi, \frac{\partial \psi}{\partial n}$ をTaylor展開

$$\psi(\mathbf{x}) = \psi(\xi) + \varepsilon \frac{\partial \psi(\xi)}{\partial n} + \frac{\varepsilon^2}{2} \frac{\partial^2 \psi(\xi)}{\partial n^2} + \dots$$

$$\frac{\partial \psi(\mathbf{x})}{\partial n} = \frac{\partial \psi(\xi)}{\partial n} + \varepsilon \frac{\partial^2 \psi(\xi)}{\partial n^2} + \frac{\varepsilon^2}{2} \frac{\partial^3 \psi(\xi)}{\partial n^3} + \dots$$

積分内では特異性をもつ
基本解の微分値がかかっている

$$d\Gamma = \varepsilon d\theta$$

$$\lim_{\varepsilon \rightarrow 0} \int_{\Gamma_\varepsilon} \frac{1}{r} \frac{\partial \psi^*}{\partial m} \frac{\partial \psi(\mathbf{x})}{\partial m} d\Gamma = \lim_{\varepsilon \rightarrow 0} \int_{\Gamma_\varepsilon} \frac{1}{r} \frac{\partial \psi^*}{\partial m} \frac{\partial \psi(\xi)}{\partial m} d\Gamma$$

$$\lim_{\varepsilon \rightarrow 0} \int_{\Gamma_\varepsilon} \frac{\psi(\mathbf{x})}{r} \frac{\partial^2 \psi^*}{\partial m \partial n} d\Gamma = \lim_{\varepsilon \rightarrow 0} \int_{\Gamma_\varepsilon} \frac{\psi(\xi)}{r} \frac{\partial^2 \psi^*}{\partial m \partial n} d\Gamma + \lim_{\varepsilon \rightarrow 0} \int_{\Gamma_\varepsilon} \frac{\varepsilon}{r} \frac{\partial \psi(\xi)}{\partial n} \frac{\partial^2 \psi^*}{\partial m \partial n} d\Gamma$$

HBIEの定式化⑤

磁束が至るところで一様な場を仮定

$$\int_{\Gamma_\varepsilon} \frac{1}{r} \frac{\partial^2 \psi^*}{\partial m \partial n} d\Gamma = - \int_{\Gamma - \Gamma_\varepsilon} \frac{1}{r} \frac{\partial^2 \psi^*}{\partial m \partial n} d\Gamma$$

Γ_ε を $\Gamma - \Gamma_\varepsilon$ の積分で表すことができる

- 境界が滑らかである
 - 境界上で磁束が一定
- これらの条件を用いる

弱い特異性のみをもつHBIE

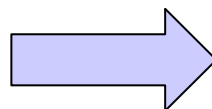
$$\frac{1}{2} \frac{\partial \psi(\xi)}{\partial m} - \lim_{\varepsilon \rightarrow 0} \int_{\Gamma - \Gamma_\varepsilon} \frac{1}{r} \frac{\partial \psi^*}{\partial m} \frac{\partial \psi(\mathbf{x})}{\partial n} d\Gamma$$

有限確定

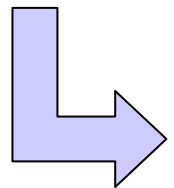
$$= \sum_{l,m} \alpha_{l,m} \left\{ \frac{1}{2} \frac{\partial \varphi_i^{(l,m)}(\xi)}{\partial m} - \lim_{\varepsilon \rightarrow 0} \int_{\Gamma - \Gamma_\varepsilon} \left(\frac{1}{r} \frac{\partial \psi^*}{\partial m} \frac{\partial \varphi^{(l,m)}(\mathbf{x})}{\partial n} - \frac{\varphi^{(l,m)}(\mathbf{x}) - \varphi_i^{(l,m)}(\xi)}{r} \frac{\partial^2 \psi^*}{\partial m \partial n} \right) d\Gamma \right\}$$

境界積分の有限確定性

$$\lim_{\varepsilon \rightarrow 0} \left\{ \frac{\varphi^{(l,m)}(\mathbf{x}) - \varphi^{(l,m)}(\xi)}{r} \frac{\partial^2 \psi^*}{\partial m \partial n} \right\} \quad \text{について検証}$$



$$\lim_{\varepsilon \rightarrow 0} \left\{ \frac{\varphi^{(l,m)}(\mathbf{x}) - \varphi^{(l,m)}(\xi)}{\varepsilon} \right\} \lim_{\varepsilon \rightarrow 0} \left\{ \frac{\varepsilon}{r} \frac{\partial^2 \psi^*}{\partial m \partial n} \right\}$$



$\frac{\partial \varphi^{(l,m)}}{\partial \Gamma}$ であり、 $\varphi^{(l,m)}$ を多項式展開しているのので有限確定

$$\lim_{\varepsilon \rightarrow 0} \int \left\{ \frac{\varepsilon}{r} \frac{\partial^2 \psi^*}{\partial m \partial n} \right\} d\Gamma = \lim_{\varepsilon \rightarrow 0} \int \left\{ C_0 + \frac{C_1}{\varepsilon} \right\} |J| ds$$

境界の離散化

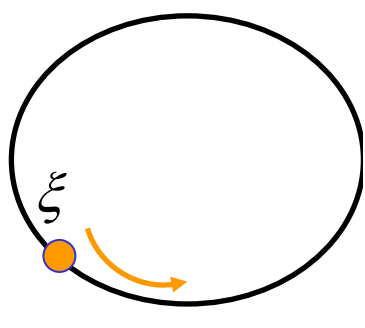
- 一定要素、線形要素 → (有限確定項)+0
- 二次要素 → (有限確定項)+(一定値に有限確定)

$$\lim_{\varepsilon \rightarrow 0} \left\{ \frac{\varphi^{(l,m)}(\mathbf{x}) - \varphi^{(l,m)}(\xi)}{r} \frac{\partial^2 \psi^*}{\partial m \partial n} \right\} \quad \text{は有限確定である(他の項についても同様)}$$

計算方法

- HBIEを用いた境界要素法

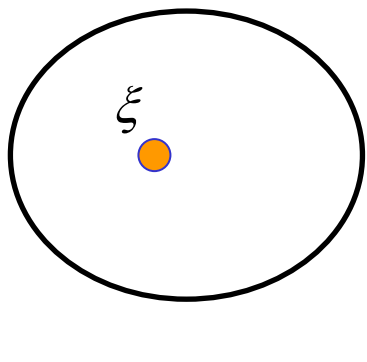
1. ξ を境界上にn個配置し、n個の HBIE より $\left. \frac{\partial \psi}{\partial n} \right|_{\Gamma}$ を導出



$$\frac{1}{2} \frac{\partial \psi(\xi)}{\partial m} - \lim_{\varepsilon \rightarrow 0} \int_{\Gamma - \Gamma_\varepsilon} \frac{1}{r} \frac{\partial \psi^*}{\partial m} \frac{\partial \psi(\mathbf{x})}{\partial n} d\Gamma$$

$$= \sum_{l,m} \alpha_{l,m} \left\{ \frac{1}{2} \frac{\partial \phi^{(l,m)}(\xi)}{\partial m} - \lim_{\varepsilon \rightarrow 0} \int_{\Gamma - \Gamma_\varepsilon} \left(\frac{1}{r} \frac{\partial \psi^*}{\partial m} \frac{\partial \phi^{(l,m)}(\mathbf{x})}{\partial n} - \frac{\phi^{(l,m)}(\mathbf{x}) - \phi^{(l,m)}(\xi)}{r} \frac{\partial^2 \psi^*}{\partial m \partial n} \right) d\Gamma \right\}$$

2. ξ を境界内部に置き、SBIEを用いて $\psi(\xi)$ を導出

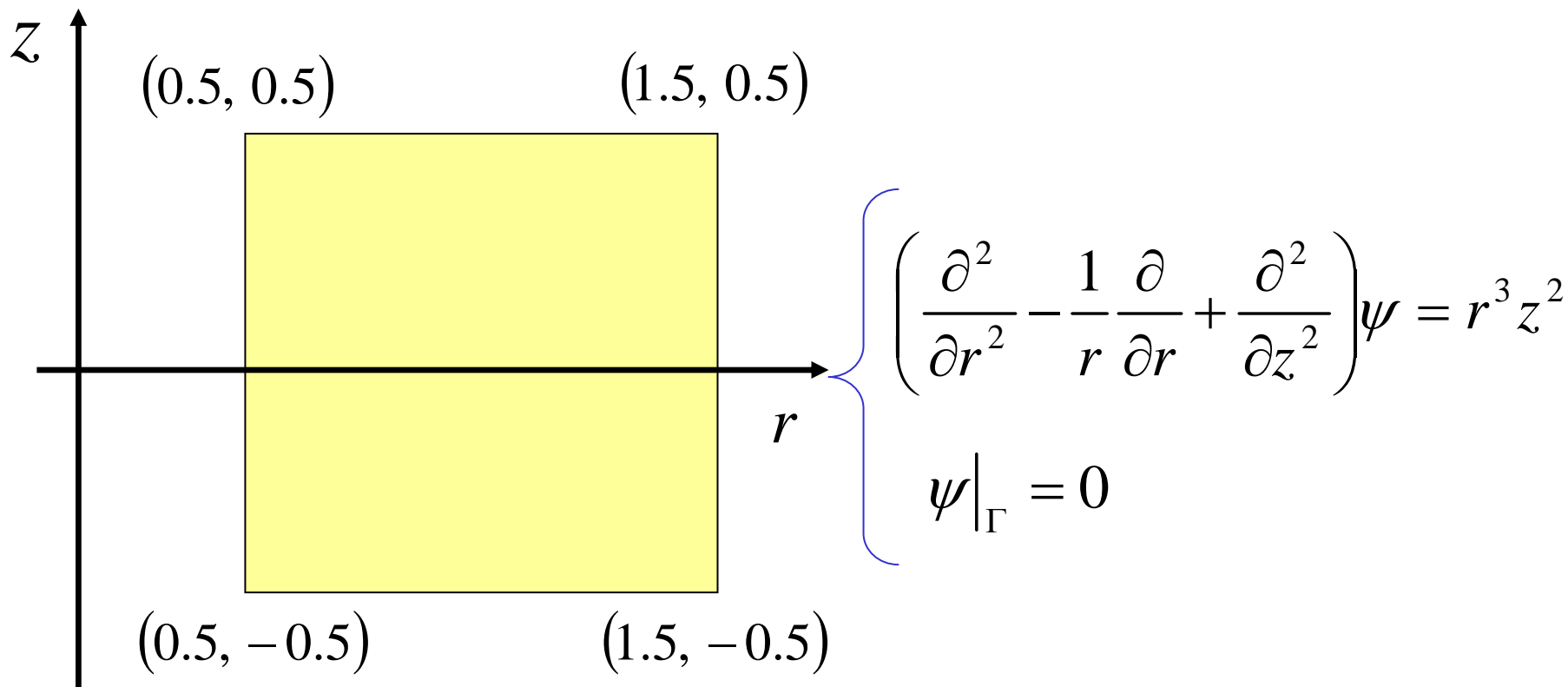


$$\psi(\xi) - \int_{\Gamma} \left(\frac{\psi^*}{r} \frac{\partial \psi(\mathbf{x})}{\partial n} - \frac{\psi(\mathbf{x})}{r} \frac{\partial \psi^*}{\partial n} \right) d\Gamma =$$

$$\sum_{l,m} \alpha_{l,m} \left\{ \phi^{(l,m)}(\xi) - \int_{\Gamma} \left(\frac{\psi^*}{r} \frac{\partial \phi^{(l,m)}(\mathbf{x})}{\partial n} - \frac{\phi^{(l,m)}(\mathbf{x})}{r} \frac{\partial \psi^*}{\partial n} \right) d\Gamma \right\}$$

数値計算例

- 矩形プラズマにおける解析解との比較
 - HBIEの精度検証の段階のため、逆解析は行っていない



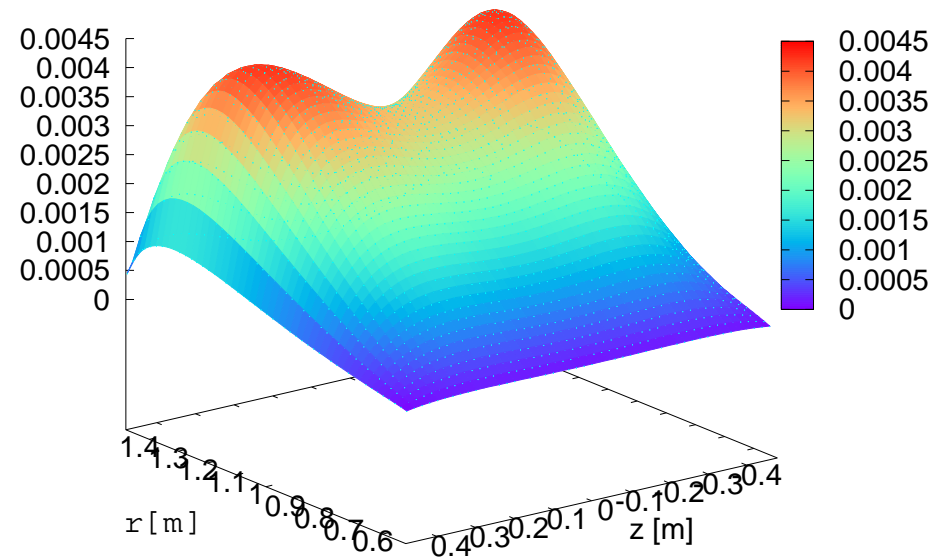
境界上の $\frac{\partial \psi}{\partial n}$ 、及び内部磁束分布を求める

磁束分布

- 一定要素で離散化
- 要素数80

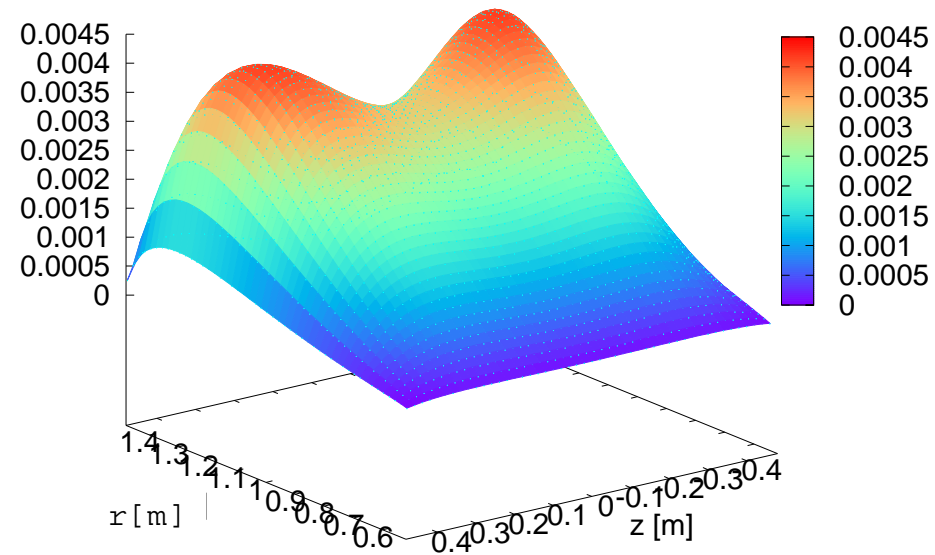
解析解

Psi [-]



BEM with HBIE

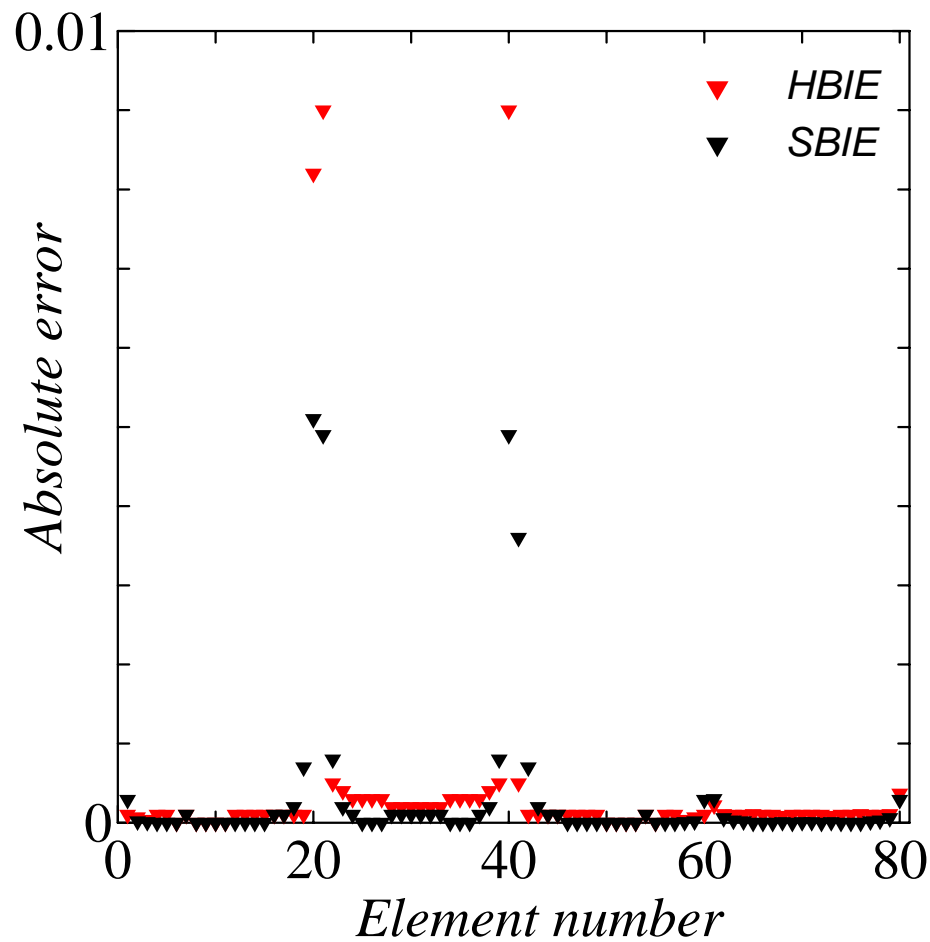
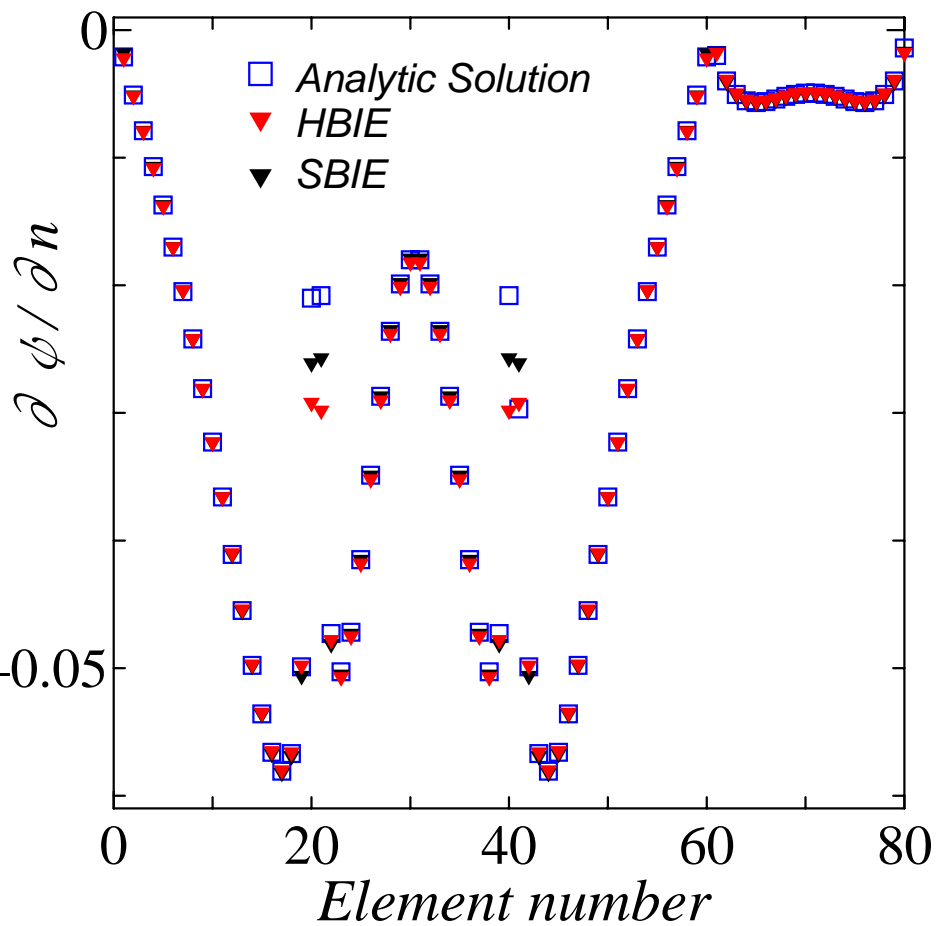
Psi [-]



解析解にほぼ等しい磁束分布を再現

$\frac{\partial \psi}{\partial n} \Big|_{\Gamma}$ の比較

- 一定要素で離散化
- 要素数80



まとめ

結果

1. Grad-Shafranov 方程式に対するHyper-Singular境界積分方程式の定式化に成功した
2. 実際に数値計算を行い、一定の精度を得られたことからその有用性が実証された

今後の課題

1. 離散化の精度に優れた非適合2次要素を用いて数値計算を行い、解の精度を向上させる
2. 逆解析において、SBIEと連立させてロバストな解を得る



Hölder連続

- 通常連続より強く、Lipschitz連続、微分可能より弱い

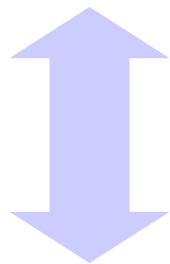
$$|x_1 - x_0| < \varepsilon^{\frac{1}{\alpha}},$$

$$|f(x_1) - f(x_0)| < A|x_1 - x_0|^{\alpha}$$

GS方程式のHBIE

- HBIE

$$\frac{1}{2} \frac{\partial \Psi_i(\xi)}{\partial m} - \lim_{\epsilon \rightarrow 0} \int_{\Gamma - \Gamma_\epsilon} \frac{1}{r} \frac{\partial \Psi^*}{\partial m} \frac{\partial \Psi_i(\mathbf{x})}{\partial n} d\Gamma$$
$$= \sum_{l,m} \alpha_{l,m} \left\{ \frac{1}{2} \frac{\partial \phi_i^{(l,m)}(\xi)}{\partial m} - \lim_{\epsilon \rightarrow 0} \int_{\Gamma - \Gamma_\epsilon} \left(\frac{1}{r} \frac{\partial \Psi^*}{\partial m} \frac{\partial \phi^{(l,m)}(\mathbf{x})}{\partial n} - \frac{\phi^{(l,m)}(\mathbf{x}) - \phi_i^{(l,m)}(\xi)}{r} \frac{\partial^2 \Psi^*}{\partial m \partial n} \right) d\Gamma \right\}$$



既存のプログラムを利用して、
変更箇所のみを取り替える

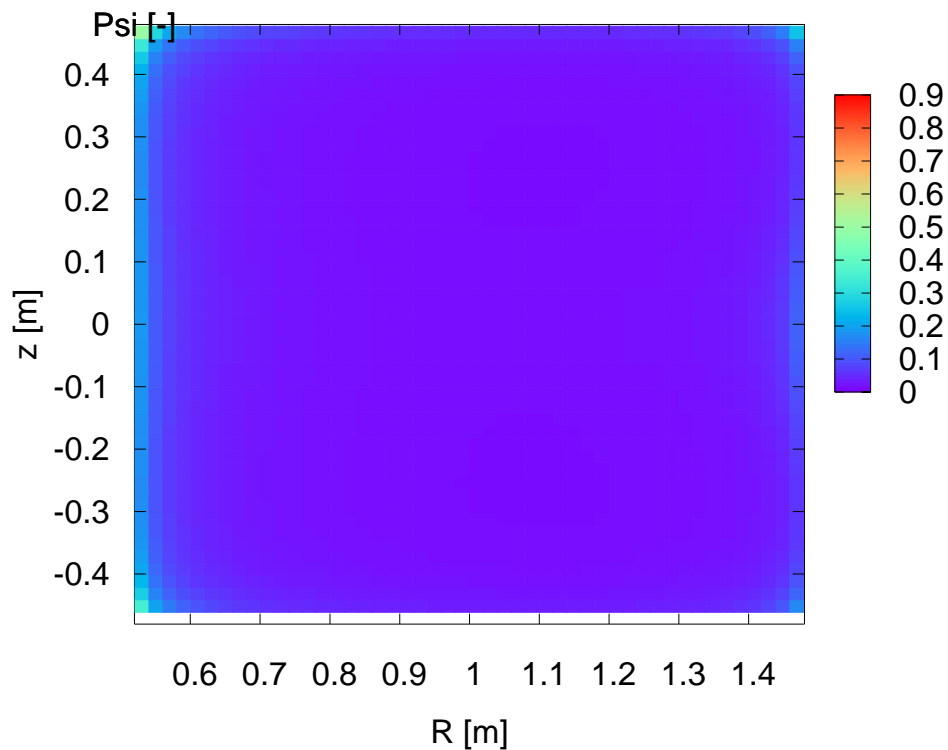
$$\frac{1}{2} \Psi_i(\xi) - \int_{\Gamma'} \left(\frac{\Psi^*}{r} \frac{\partial \Psi}{\partial n} - \frac{\Psi}{r} \frac{\partial \Psi^*}{\partial n} \right) d\Gamma'$$
$$= \sum_{l,m} \alpha_{l,m} \left\{ \phi_i^{(l,m)} - \int_{\Gamma'} \left(\frac{\Psi^*}{r} \frac{\partial \phi^{(l,m)}}{\partial n} - \frac{\phi^{(l,m)}}{r} \frac{\partial \Psi^*}{\partial n} \right) d\Gamma' \right\}$$

磁束分布の比較

- 一定要素で離散化
- 要素数80

$$\frac{|\psi_{Analytic} - \psi_{HBIE}|}{|\psi_{Analytic}|}$$

- SBIE



誤差はほとんどなく、良い精度で内部磁束を再現している

研究背景

- プラズマ内部の電流密度分布

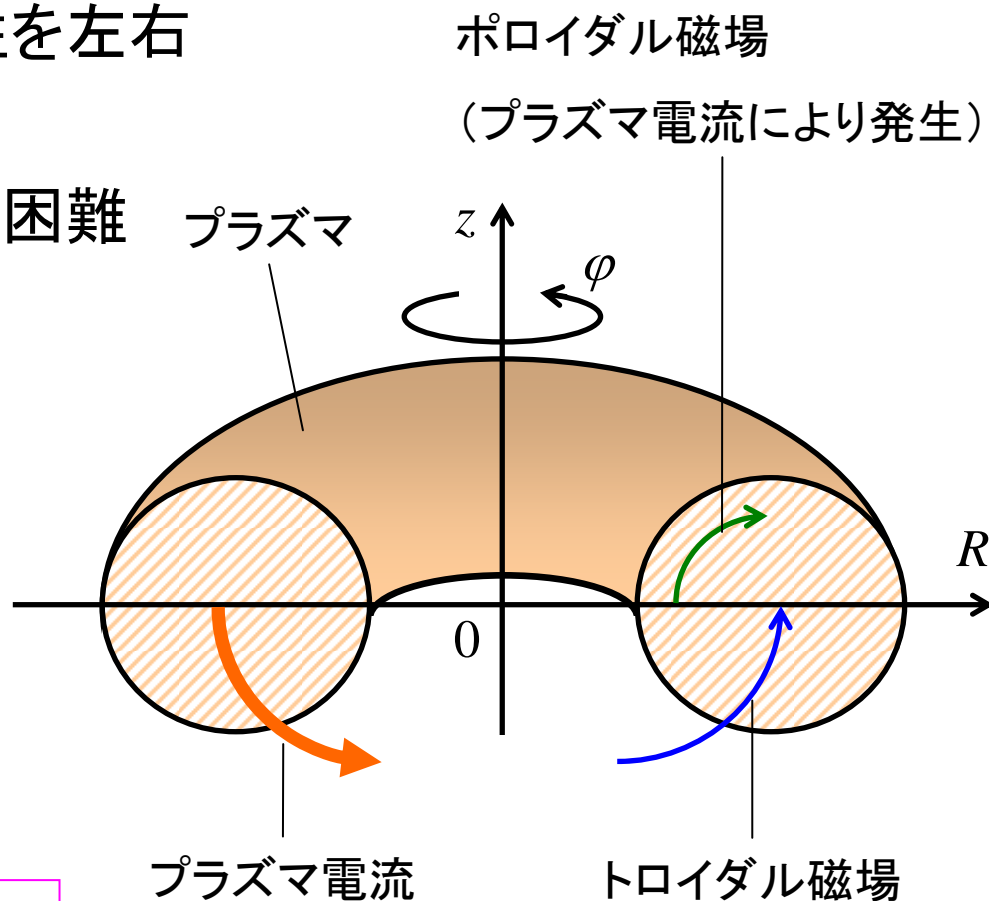
- プラズマの閉じ込め特性を左右
- プラズマ内部の情報を

直接知ることは困難

外部磁気センサー

逆解析

プラズマ内部の電流密度分布



トカマク型核融合装置の概要